

02;03;10;12

©1993

ПРИПОРОГОВАЯ ИОНИЗАЦИЯ КЛАСТЕРОВ АРГОНА ЭЛЕКТРОННЫМ УДАРОМ

А.Н.Завилупло, А.И.Долгин, М.А.Ходорковский

К настоящему времени накоплен довольно обширный экспериментальный и теоретический материал по свойствам ионных и нейтральных кластеров [1,2], которые существенно зависят от числа составляющих его мономеров. Наиболее распространенным методом экспериментального исследования кластерных пучков является ионизационный, суть которого состоит в преобразовании нейтральных частиц в заряженные тем или иным способом, например электронным, ионным или фотонным ударом. Последующий анализ полученных заряженных частиц фотометрическим [3], масс-спектрометрическим [4] или методом задерживающего потенциала (ЗП) [5] позволяет получать информацию о физических и химических свойствах кластеров.

Одним из предназначений нашего экспериментального комплекса является проведение исследований с молекулярными пучками, включая кластерные. Основу установки составляет газодинамический источник молекулярных пучков (ГИМП) с импульсным соплом и квадрупольным масс-спектрометром в качестве регистрирующего элемента. Не останавливаясь на методических и технологических аспектах, отметим, что в данном экспериментальном комплексе учтены практически все требования для проведения многоплановых экспериментов с молекулярными пучками.

Управление всем комплексом установки осуществляется от мультипроцессорной системы, которая собирает и обрабатывает сигналы, поступающие со всех контрольных датчиков. В случае ошибки или нарушения работы любого из контролируемых устройств происходит его отключение (или блокировка) с адресным звуковым и световым сообщением об ошибке. Система автоматики обладает высокой надежностью и предусматривает непрерывную круглосуточную работу всего комплекса.

Заметим, что при регистрации ионных иоков порядка 10^{-8} А можно успешно применять приемник в виде цилиндра Фарадея, в остальных случаях широко используются ВЭУ, которые отличаются высоким быстродействием и большим коэффициентом усиления. Однако при регистрации кластерных ионов возникают специфические проблемы, связанные, в первую очередь, с учетом коэффициента вторичной эмиссии ВЭУ. Более того, понятно, что если кинетическая энергия, приходящаяся на атом (молекулу) в кластере, окажется меньше пороговой, то такой ион вообще не будет зарегистрирован. С этим механизмом искажения спектра может быть связано расхождение результатов масс-спектрометрических измерений [4,6] и измерений ЗП [5]. Так, функция распределения кластеров по размерам, измеренная методом ЗП, имеет экстремум

мум, тогда как масс-спектрометрические измерения дают в основном функцию, близкую к монотонно убывающей. Поскольку применимость ВЭУ в большинстве работ не рассматривается [2], на-ми были поставлены специальные эксперименты по определению и учету зависимости интенсивности тока ВЭУ для кластеров разной кратности (n). Измеренная нами функция распределения класти-ров аргона по размерам близка к измеренной методом ЗП и имеет максимум при $n = 7$.

Работоспособность экспериментальной установки и адекват-ность получаемых результатов подтверждалась контрольными опытами, определившими оптимальные режимы работы комплек-са в целом. Эти контрольные эксперименты подтвердили правиль-ность выбранной методики и позволили провести систематические исследования эффективных сечений ионизации и порогов иониза-ции кластеров аргона электронным ударом.

Как известно, спектроскопический порог ионизации атома Ar равен $E_i = 15.76$ эВ, а сечение ионизации имеет резко выраженный пороговый характер, т.е. наблюдается резкий рост сечения сразу за потенциалом ионизации [7]. Что касается порогов ионизации кластеров, то они в большинстве случаев либо неизвестны, либо точность их определения неудовлетворительна. После тщательно-го измерения сечения ионизации кластеров различной кратности вблизи порога нами применены два независимых метода обработ-ки начального участка кривой: линейной интерполяции (аналогич-но [8]) и метод второй производной [9]. Процедура обработки по первому методу заключалась в линейной интерполяции начально-го участка кривой ионизации с учетом уровня фона, точка пересе-чения этих двух прямых определяла координату на оси энергий, собственно начало процесса ионизации (рис. 1). Подобная проце-дуря применена в работе [8] для определения порогов ионизации кластеров серебра и меди. Второй метод обработки заключается в нахождении второй производной при численном дифференциро-вании того же начального участка кривой ионизации. Проверка обоих методов проводилась по порогам ионизации Ar^+ и Ar^{++} , ока-залось, что оба метода дают результат с точностью 0.12 эВ. Эти же данные позволили определить контактную разность потенциа-лов и, следовательно, шкалу энергий ионизирующих электронов. Затем аналогичная процедура обработки применена для всех по-роговых участков сечений ионизации кластеров аргона.

На рис. 1 приведен начальный участок сечения ионизации Ar_2 , обработанный обоими методами. Как видим, экстремум второй производной (сплошная кривая) и линейная аппроксимация начально-го участка сходятся практически в одной точке на шкале энергий, которая и соответствует порогу ионизации кластера дан-ной кратности. Определив таким способом пороги ионизации кла-сторов с $n = 2 - 12$, можно построить зависимость пороговой энер-гии ионизации от числа атомов в кластере n , которая и показана на рис. 2, a. Пороговая энергия сначала возрастает, затем выходит на максимум и в области больших масс кластеров убывает, при-ближаясь к пороговому значению ионизации димера (Ar)₂. Такое поведение кривой, видимо, объясняется изменением энергии свя-зи, которая является важным физическим параметром в кластере

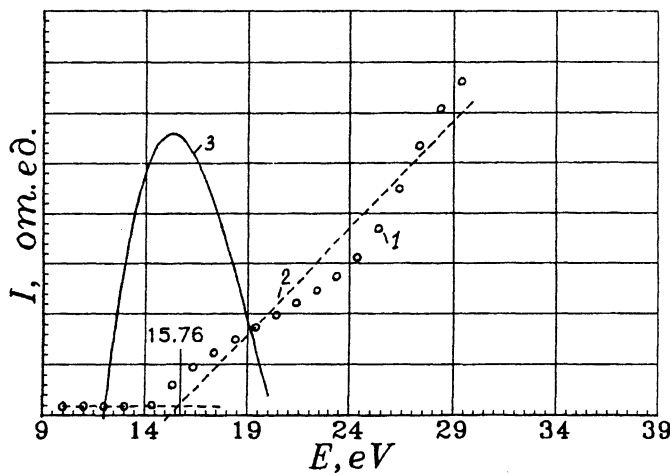


Рис. 1. Пороговый участок эффективного сечения ионизации димера аргона электронным ударом: 1 — эксперимент, 2 — линейная интерполяция, 3 — вторая производная, цифры — спектроскопический порог ионизации атома Ar.

при переходе от малых n к большим. Действительно, представленная на рис. 2 б зависимость энергии связи от числа мономеров (атомов) в кластере (построена нами по данным работы [10]) также имеет максимум примерно при той же абсциссе. Сопоставляя полученную нами зависимость порога ионизации кластеров Ar от n (см. рис. 2 а), заключаем, что проявление максимума в окрестности $n = 7$ связано с наличием магических чисел для кластеров аргона [11].

Последующий анализ представленной на рис. 2 а зависимости позволил аппроксимировать ее следующей формулой:

$$E_n = (E_i + E_{cb}) \left[1 - \left(\frac{n - 7}{E_i + E_{cb}} \right)^2 \right], \quad (1)$$

где E_i — потенциал ионизации Ar, E_{cb} — усредненная энергия связи в кластере, n — число атомов в кластере. Расчет по формуле (1) в пределах точности эксперимента совпадает с экспериментальной зависимостью (см. рис. 2, а).

Таким образом, можно сделать вывод о том, что определяющим фактором в процессе ионизации кластеров вблизи порога является энергия связи.

В заключение авторы выражают искреннюю благодарность профессору О.Б.Шпенику и А.В.Снегурскому за ряд ценных замечаний. Авторы благодарны Е.Э.Контрошу за полезные дискуссии и помочь при обработке результатов эксперимента.

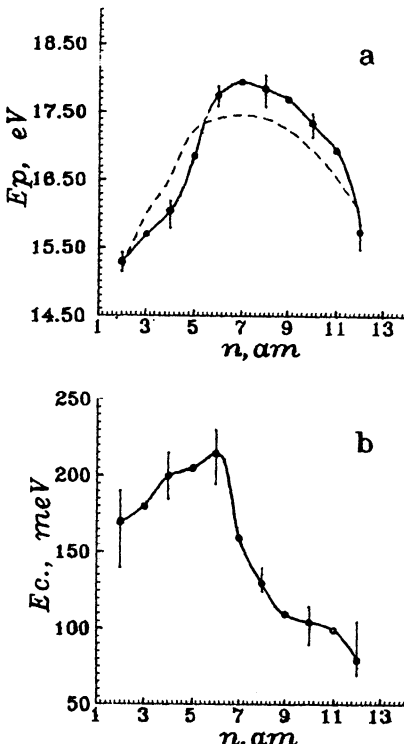


Рис. 2. Зависимость пороговой энергии и энергии связи кластеров аргона от размера (числа мономеров) кластеров; 2а: зависимость от пороговой энергии: точки — эксперимент, пунктир — расчет по формуле (1); 2б: зависимость от энергии связи: точки — данные работы [10].

Список литературы

- [1] Александров М.Л., Куснер Ю.С. Газодинамические молекулярные, ионные и кластированные пучки. Л.: Наука, 1989. 271 с.
- [2] Scicles G. et.al. Atomic and Molecular Beam Methods Oxford: Oxford University Press. 1989. V. 1.
- [3] Верховцева Э.Т. и др. // Письма в ЖЭТФ. 1974. Т. 20. Вып. 7. С. 479-481.
- [4] Greene F.T., Milne T.A. // J. Chem. Phys. 1963. V. 39. N 11. P. 3150—3157.
- [5] Bauchert I., Hagen O.F. // Z.Naturf. 1965. V. 20A. P. 9-14.
- [6] Lin Sin Shung // Rev. Sci. Instr. 1973. V. 44. N 4. P. 158-166.
- [7] Tawara H., Kato T., Ohnishi M. // IPPJ-AM-37. 1985.
- [8] Franzreb K., Wucher A., Oechsner H. // Z.Phys.D — Atom, Mol. & Clust. 1990. V. 17. P. 51-62.

- [9] Lossing F.P. et al. // J. Chem. Phys. 1971. V. 54. N 12. P. 5431–5437.
[10] Engelking P.C. // J. Chem. Phys. 1987. V. 87. P. 936–941.
[11] Folthz M. et al. // J. Chem. Phys. 1991. V. 94. P. 810–811.

Институт электронной физики АН Украины,
Ужгород
Институт прикладной химии,
С.-Петербург

Поступило в Редакцию
30 мая 1993 г.
